



## بررسی عددی تأثیر سطح مقطع تزریق جریان ثانویه بر میزان چرخش زاویه بردار نیرو در نازل‌های دارای دو گلوگاه

محمد هادی حامدی<sup>1</sup>، مهدی جهرمی<sup>2\*</sup>، مصطفی محمودی<sup>2</sup>، جاماسب پیرکندی<sup>2</sup>

1- دانشجوی کارشناسی ارشد، مهندسی هوافضا، دانشگاه صنعتی مالک اشتر، تهران  
2- استادیار، مجتمع دانشگاهی هوافضا، دانشگاه صنعتی مالک اشتر، تهران

\* تهران، صندوق پستی 15875-1774، jahromi@iust.ac.ir

### اطلاعات مقاله

مقاله پژوهشی کامل  
دریافت: 14 مرداد 1393  
پذیرش: 25 مهر 1393  
ارائه در سایت: 09 آذر 1393  
کلید واژگان:

### چکیده

هدف این تحقیق شبیه‌سازی عملکرد، سیستم کنترل بردار تراست با استفاده از نازل‌های دارای دو گلوگاه است. هندسه نازل با ابعاد مشخص و جریان مافوق صوت تراکم‌پذیر با سه مدل آشفتگی مختلف و نسبت فشار معین شبیه‌سازی شده است. نتایج نشان می‌دهند که مدل آشفتگی SST K- $\omega$  رفتار جریان درون نازل‌های دارای دو گلوگاه را به درستی پیش‌بینی می‌کند. پس از اعتبارسنجی حل عددی و مقایسه نتایج بدست آمده با نتایج تجربی موجود، تأثیر پارامترهای موثر، نظیر طول شیار ناحیه تزریق جریان ثانویه و درصد دبی جرمی ثانویه تزریق‌شده، بر عملکرد نازل و سیستم کنترل بردار تراست به کمک نازل‌های دارای دو گلوگاه مورد تحلیل و بررسی قرار گرفته است. بررسی نتایج عددی بدست آمده نشان می‌دهد که با کاهش طول شیار، زاویه برداردهی و بازدهی سیستم کنترل بردار تراست افزایش می‌یابد. به طوری که با کاهش طول شیار و با تزریق 7% دبی جرمی ثانویه، مقدار زاویه برداردهی نازل از 12 درجه به 20 درجه می‌رسد. با افزایش طول شیار تزریق جریان ثانویه، ضریب تخلیه و ضریب تراست نازل افزایش می‌یابد. برای نمونه با چهار برابر نمودن طول شیار مقدار ضریب تخلیه نازل حدود 10% افزایش می‌یابد. از طرفی کاهش طول شیار و افزایش دبی جرمی جریان ثانویه منجر به کاهش ضریب تخلیه و ضریب تراست نازل می‌شود.

کنترل بردار تراست  
زاویه انحراف بردار تراست  
راندمان برداردهی  
ضریب تخلیه  
ضریب تراست

## Effect of Secondary Flow Injection Area on Thrust Vectoring Angle in Double Throat Nozzles

Mohammad Hadi Hamed<sup>1</sup>, Mehdi Jahromi<sup>2\*</sup>, Mostafa Mahmodi<sup>2</sup>, Jamasb Pirkandi<sup>2</sup>

1. Department of Aerospace, Malek-Ashtar University, Tehran, Iran  
2. Malek-Ashtar University of Technology, Tehran, Iran  
\* P.O.P. 15875-1774, Tehran, Iran, jahromi@iust.ac.ir

### ARTICLE INFORMATION

Original Research Paper  
Received 05 August 2014  
Accepted 17 October 2014  
Available Online 30 November 2014

### Keywords:

Fluidic Thrust Vectoring  
Pitch Thrust Vector Angle  
Vectoring Efficiency  
Discharge Coefficient  
Thrust Coefficient

### ABSTRACT

The present paper discusses a technique that can be used to vector the exhaust flow in the pitch directions using Double Throat nozzle (DTN). Compressible and supersonic gas flow inside a Double Throat nozzle and its exhaust plume at specific nozzle pressure ratios have been numerically studied with several turbulence models. Numerical results reveal that, the SST k- $\omega$  model gave the best results compared with the other models in time and accuracy. In the present research, effects of changes in injection area of secondary flow and percentage of secondary mass flow rate on performance of Double Throat nozzle and thrust vectoring system have been investigated. The predicted results show that by decreasing the value of secondary flow injection area in a case with 7% secondary injection, the thrust vector angle increases 12° to 20° and thrust vectoring efficiency will increase. But by increasing the value of secondary flow injection area, the thrust and discharge coefficient (10%) will increase. Also, when secondary mass flow rate increases, the discharge and thrust coefficient will decrease.

### 1- مقدمه

برای کنترل زاویه بردار تراست و کنترل سطح مقطع نازل بیش از چندین دهه است که مورد مطالعه قرار گرفته است. بر خلاف برداردهی مکانیکی که از سخت‌افزارهای سنگین برای برداردهی استفاده می‌کرد، کنترل بردار تراست به کمک سیال از یک جریان ثانویه که عموماً این سیال، هوای وزیده شده از فن یا کمپرسور موتور تأمین می‌شود، برای منحرف کردن جریان جت اولیه استفاده می‌کند. به طور کلی چهار مکانیزم مختلف برای برداردهی تراست به

کنترل بردار تراست به کمک سیال<sup>1</sup>، تزریق کردن جریان سیال ثانویه به لایه مرزی جت اولیه و یا خارج کردن از آن است. برداردهی تراست به کمک سیال، یک روش مفید درعین حال سبک، ساده، ارزان و بدون نیاز به قطعات متحرک (هندسه ثابت) است. تزریق سیال

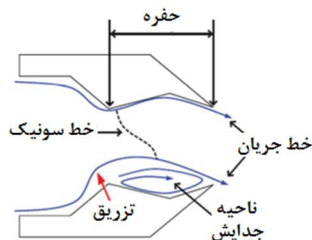
1- Fluidic Thrust Vectoring

کمک سیال وجود دارد که بیش از دو دهه است که در حال تحقیق و توسعه است و عبارت‌اند از کنترل بردار ضربه<sup>1</sup>، نامتوزان کردن گلوگاه نازل<sup>2</sup>، روش جریان مخالف و روش جریان موافق<sup>3-1</sup>. این روش‌ها می‌توانند برای برداردهی در جهت دوران حول محور افقی با زاویه بردار پیچ<sup>4</sup> ( $\delta_p$ ) یا در جهت دوران حول محور قائم با زاویه بردار انحراف<sup>5</sup> ( $\delta_y$ ) استفاده شوند. به طور کلی عملکرد سیستم کنترل بردار تراست با دو پارامتر، یکی زاویه برداردهی و دیگری بازدهی برداردهی ( $\eta$ ) بیان می‌شود. زاویه برداردهی بیانگر مقدار زاویه انحراف بردار تراست نسبت به محور تقارن نازل و بازدهی برداردهی بیانگر میزان برداردهی، نسبت به درصد تزریق جریان ثانویه در نازل است. اما عملکرد نازل‌ها با دو پارامتر ضریب تراست ( $C_T$ ) و ضریب تخلیه ( $C_d$ ) بیان می‌شود.

روش کنترل بردار ضربه، روشی برای برداردهی تراست با تزریق سیال به درون جریان مافوق صوت پایین‌دست گلوگاه نازل است. در این روش از تشکیل موج‌های ضربه (شوک های قائم و مایل) در بخش واگرای نازل جهت کنترل بردار تراست بهره می‌گیرند. اما با توجه به اینکه، وجود امواج ضربه، سبب کاهش سرعت در پایین‌دست موج ضربه می‌شود، در نتیجه منجر به کاهش سرعت خروجی جریان از نازل شده و در نهایت سبب کاهش تراست و ضریب تراست سیستم می‌شود.<sup>[4]</sup>

روش جابجایی گلوگاه، با تزریق سیال درون گلوگاه نازل برای ایجاد جریان مادون صوت در بالادست نازل انجام می‌شود. جریان مادون صوت ایجاد شده دارای تلفات کمتری نسبت به جریان مافوق صوت است. بنابراین به دلیل کاهش شوک‌های مایل درون نازل، روش جابجایی گلوگاه، عموماً سبب ایجاد ضریب تراست بیشتری نسبت به روش کنترل بردار ضربه، هنگامی که بهترین عملکرد را در خارج از نقطه طراحی نازل دارد، می‌شود. اگرچه روش جابجایی گلوگاه اخیراً بهبود یافته است، اما امروزه، بیشترین زاویه بردار تراست گزارش شده به بیش از 6% جریان اضافه شده به موتور نیازمند است<sup>[5]</sup>. روش جریان موافق، تزریق سیال درون مجرای جریان ثانویه در راستای نازل اولیه است که سبب ایجاد دو جریان، یکی جریان موازی و دیگری بعد از گذشت فاصله محوری قابل ملاحظه، به صورت جریان اختلاطی می‌شود. جت ثانویه می‌بایست دارای سرعت بالایی باشد تا بتواند ناحیه کم‌فشاری تولید کند. در نتیجه وجود ناحیه کم‌فشار، جریان جت منحرف می‌شود. روش جریان مخالف (مکش جریان از طریق کانال ثانویه در نزدیکی گلوگاه) زاویه بردار تراست زیادی با تزریق جریان ثانویه کمتر فراهم می‌کند اما این روش نیازمند منبع مکش بوده و یکپارچگی بدنه جسم پرنده نیز باید شرایط خاصی داشته باشد. هانتز<sup>[6]</sup> با شبیه‌سازی عددی و فلام<sup>[7]</sup> به طور تجربی، سیستم کنترل بردار تراست به روش جریان مخالف را مورد تحلیل و بررسی قرار داده‌اند.

در سال 2005 محققان در مرکز تحقیقات لانگلی<sup>8</sup> در ناسا<sup>7</sup> یک روش جدید برداردهی تراست را طراحی کردند<sup>[1]</sup>. این روش بدون اینکه در نسبت تراست سیستم تغییری ایجاد کند، بازدهی برداردهی بیشتری نسبت به سایر روش‌های سنتی دارد. این طراحی جدید نازل، به وسیله کنترل کردن جدایش و بیشینه تغییرات فشار در یک حفره فرورفته که بین دو گلوگاه



شکل 1 نمایش عملکرد نازل‌های DTN و تزریق جریان ثانویه [1]

9- (DTN) Dual Throat Nozzle

2- Shock Vector Control  
3- Throat Shifting or Skewing  
4- Counter Flow and Co-flow  
5- Pitch Vector Angle  
6- Yaw Vector Angle  
7- Langley Research Center (LaRC)  
8- NASA

(SST) است. از جمله مزیت‌های مدل SST نسبت به مدل استاندارد در شبیه‌سازی جریاناتی با گرادیان فشار معکوس، ایرفویل‌ها و موج‌های ضربه‌ای است. مدل انتقال تنش برشی که توسط منتر [17] توسعه پیدا کرده است، مدلی دقیق و کارآمد در معادله نویسی نواحی نزدیک دیواره است. تعریف ویسکوزیته آشفتگی در این مدل با انتقال تنش برشی آشفتگی تصحیح می‌شوند. معادلات مربوط به انرژی جنبشی آشفتگی و نرخ پراکندگی در رابطه‌های 4 و 5 بیان شده‌اند [15].

$$\frac{\partial}{\partial t}(\rho k) + \frac{\partial}{\partial x_i}(\rho k u_i) = \frac{\partial}{\partial x_j} \left( \Gamma_k \frac{\partial k}{\partial x_j} \right) + G_k - Y_k + S_k \quad (4)$$

$$\frac{\partial}{\partial t}(\rho \omega) + \frac{\partial}{\partial x_i}(\rho \omega u_i) = \frac{\partial}{\partial x_j} \left( \Gamma_\omega \frac{\partial \omega}{\partial x_j} \right) + G_\omega - Y_\omega + S_\omega \quad (5)$$

در معادلات فوق  $G_k$  نشان دهنده تولید انرژی جنبشی آشفتگی مربوط به گرادیان سرعت و  $G_\omega$  نشان دهنده تولید  $\omega$  است.  $\Gamma$ ،  $Y$  و  $S$  به ترتیب بیانگر پراکندگی مؤثر، پراکندگی آشفتگی و ترم تعریف شده توسط کاربر است. در مدل  $k-\omega$ ، پراکندگی مؤثر از طریق معادلات 6 و 7 بدست می‌آید [15].

$$\Gamma_k = \mu + \frac{\mu_t}{\sigma_k} \quad (6)$$

$$\Gamma_\omega = \mu + \frac{\mu_t}{\sigma_\omega} \quad (7)$$

در این روابط  $\sigma_k$  و  $\sigma_\omega$  به ترتیب بیانگر عدد پراکتل آشفتگی مربوط به  $k$  و  $\omega$  می‌باشند. ویسکوزیته آشفتگی از رابطه 8 محاسبه می‌شود.

$$\mu_t = \alpha^* \frac{\rho k}{\omega} \quad (8)$$

روابط مربوط به تعیین ضریب میراکننده ویسکوزیته آشفتگی ( $\alpha^*$ ) به طور کامل در مرجع [15] بیان شده است.

## 2-2- روابط حاکم بر نازل‌های دارای دو گلوگاه

مقدار ضریب تخلیه ( $C_d$ ) و ضریب تراست ( $C_f$ ) در نازل‌های دارای دو گلوگاه با استفاده از روابط 9 و 10 محاسبه می‌شود [9].

$$C_d = \frac{W_p + W_s}{W_{ip}} \quad (9)$$

$$C_f = \frac{F_r}{F_{ip} + F_{is}} \quad (10)$$

که در آن  $W_p$  بیانگر دبی وزنی اندازه‌گیری شده برای جت اولیه،  $W_s$  بیانگر دبی وزنی اندازه‌گیری شده برای جت ثانویه،  $W_{ip}$  بیانگر دبی وزنی ایده‌آل برای نازل اولیه،  $F_{ip}$  بیانگر تراست ایده‌آل آیزنتروپیک نازل اولیه و  $F_{is}$  بیانگر تراست ایده‌آل آیزنتروپیک نازل ثانویه است. مقدار  $F_r$  که بیانگر تراست برآیند است با رابطه 11 بیان می‌شود [9].

$$F_r = \sqrt{F_A^2 + F_N^2} \quad (11)$$

در آن  $F_A$  بیانگر نیروی محوری و  $F_N$  بیانگر نیروی عمودی اندازه‌گیری شده است. زاویه برآیند حول محور عرضی برداردهی تراست با رابطه 12 محاسبه می‌شود [9].

$$\delta_p = \tan^{-1} \frac{F_N}{F_A} \quad (12)$$

بازدهی برداردهی تراست ( $\eta$ ) با رابطه 13 بر حسب درصد تزریق بیان می‌شود. این پارامتر بیانگر میزان زاویه چرخش بردار تراست نسبت به درصد دبی جرمی ثانویه تزریق شده به درون نازل است و یکای آن معادل درصد بر درصد تزریق است [9]. بنابراین بیشترین مقدار آن 1 نبوده و هر مقداری را می‌تواند اختیار کند. مفهوم آن بدین گونه است که، سیستم کنترل

حیدری و پورامیر [13] تأثیر پارامترهایی از قبیل موقعیت، زاویه و دبی جریان ثانویه بر زاویه انحراف بردار تراست را به صورت عددی مورد مطالعه قرار دادند. نتایج آنها نشان می‌دهد که مقدار بهینه پاشش به موقعیت تزریق گر وابسته است. اخیراً در سال 2014 جو و همکاران [14] تأثیر حفره بر عملکرد نازل دارای دو گلوگاه را هنگامی که سیستم کنترل بردار تراست شروع به فعالیت می‌کند، مورد تحلیل و بررسی قرار دادند. نتایج تحلیل عددی گذرای آنها برای دو هندسه با ابعاد مختلف نشان می‌دهد که در هنگام آغاز به کار سیستم، نیروهای دینامیکی تولید شده، مشکلاتی برای سیستم هدایت و کنترل وسیله پرنده به وجود می‌آورد.

هدف این تحقیق شبیه‌سازی عملکرد، سیستم کنترل بردار تراست با استفاده از نازل‌های دارای دو گلوگاه (DTN) است که در آن ضمن مقایسه نتایج عددی بدست آمده با نتایج تجربی گزارش شده توسط دیگر محققین به منظور دستیابی به حل عددی معتبر، به بررسی تأثیر پارامترهای مؤثر بر عملکرد این سیستم پرداخته شده است. تا کنون تأثیر پارامترهای هندسی نازل شامل طول حفره، زاویه همگرایی و واگرایی حفره و نسبت انبساط نازل توسط دیگر محققین مطالعه شده است اما تغییر طول شیار تزریق جریان ثانویه با دبی جرمی مختلف و تأثیر آن بر عملکرد بردارهای تراست نازل‌های دارای دو گلوگاه تا به حال مورد بررسی قرار نگرفته است. در این تحقیق، تأثیر تغییر در طول شیار تزریق جریان ثانویه بر عملکرد نازل و سیستم کنترل بردار تراست مورد تحلیل و بررسی قرار گرفته است.

## 2- معادلات حاکم

نرم افزارهای تجاری برای شبیه‌سازی جریان‌های مختلف مدل‌های آشفتگی متفاوتی ارائه داده‌اند که می‌توان از هر کدام از این مدل‌ها بسته به شرایط خاص مسئله استفاده کرد [15]. در بخش‌های بعدی به طور خلاصه به معادلات مربوط به مدل آشفتگی  $k-\omega$  و معادلات حاکم بر نازل‌های دارای دو گلوگاه اشاره شده است.

### 2-1- مدل آشفتگی انتقال تنش‌های برشی $k-\omega$ SST

فرم دیفرانسیلی معادله پیوستگی جریان آشفتگی تراکم‌پذیر به صورت رابطه (1) است [16].

$$\frac{\partial \rho}{\partial t} + \text{div}(\rho U) = 0 \quad (1)$$

معادله رینولدز برای یک جریان تراکم‌پذیر در راستای X به صورت رابطه (2) است. که می‌توان این معادله را در راستای Y و Z نیز تعمیم داد [16].

$$\frac{\partial(\rho U)}{\partial t} + \text{div}(\rho U U) = -\frac{\partial P}{\partial x} + \text{div}(\mu \text{grad } U) + \left[ -\frac{\partial(\rho \overline{u^2})}{\partial x} - \frac{\partial(\rho \overline{u'v})}{\partial y} - \frac{\partial(\rho \overline{u'w})}{\partial z} \right] + S_{Mx} \quad (2)$$

معادله انتقال اسکالر برای جریان تراکم‌پذیر با رابطه (3) بیان می‌شود [16].

$$\frac{\partial(\rho U)}{\partial t} + \text{div}(\rho U U) = -\frac{\partial P}{\partial x} + \text{div}(\mu \text{grad } U) + \left[ -\frac{\partial(\rho \overline{u^2})}{\partial x} - \frac{\partial(\rho \overline{u'v})}{\partial y} - \frac{\partial(\rho \overline{u'w})}{\partial z} \right] + S_{Mx} \quad (3)$$

به طور کلی ترم  $\rho \overline{u'v}$  را اصطلاحاً تنش آشفتگی یا تنش رینولدز می‌نامند. تنها تفاوت معادلات جریان آرام با آشفتگی نیز حضور همین ترم است. به طور کلی این ترم، از لحاظ فیزیکی دارای مفهوم تنش نیست، بلکه بیانگر اثر تبادل اینرسی است [16].

به طور کلی مدل  $k-\omega$  دارای دو نوع استاندارد و انتقال تنش برشی

حرفه،  $\theta_3$  بیانگر زاویه همگرایی نازل،  $d_t$  بیانگر کمترین ارتفاع بالادست و  $d_e$  بیانگر کمترین ارتفاع پایین دست نازل است. لازم به ذکر است نسبت سطح مقطع گلوگاه به سطح مقطع خروجی نازل، برابر یک در نظر گرفته شده است. برای بررسی استقلال حل عددی از شبکه، نازل دارای دو گلوگاه، با سه اندازه سلول مختلف که جزئیات آن در جدول 2 آمده است، به صورت مربعی شبکه‌بندی شده تا عدم وابستگی به شبکه محاسباتی، مورد ارزیابی دقیق قرار گیرد.

نمایش استقلال محاسبات از شبکه با استفاده از مدل SST k- $\omega$  برای نسبت فشار استاتیکی محلی بر فشار مطلق کل ورودی ( $P/P_t$ ) بر حسب نسبت فاصله محوری از مقطع ورودی بر طول کل نازل ( $x/L$ ) بر روی دیواره فوقانی نازل برای سه شبکه‌بندی مختلف، در شکل 3 نشان داده شده است. توجه به مطابقت نتایج بدست آمده از دو شبکه B و C به دلیل صرفه جویی در هزینه محاسباتی، از شبکه B برای تحلیل جریان درون نازل استفاده شده است. لازم به ذکر است که اندازه میانگین سلول‌ها در این شبکه، مقدار 0/6 میلی‌متر است.

در شکل 4 کل دامنه حل عددی، نمونه‌ای از شبکه انتخاب شده، ابعاد هندسه نازل و شرایط مرزی مختلف در نظر گرفته شده برای شبیه‌سازی جریان درون نازل نشان داده شده است. شرایط مرزی اعمال شده به این صورت است که در مقطع ورودی نازل، شرط مرزی فشار ورودی بر مبنای شدت آشفستگی و قطر هیدرولیکی متناظر با قطر خروجی اعمال شده است. در مقطع خروجی دامنه حل عددی، شرط مرزی فشار دوردست و برای دیواره‌های نازل شرایط آدیاباتیک و عدم لغزش در نظر گرفته شده است. جریان ثانویه نازل با شرط مرزی دبی جرمی ورودی ایجاد شده است. نسبت فشار نازل ( $NPR = P_0/P_b$ ) به صورت متغیر در دو حالت 1/89 (نسبت فشار طراحی نازل) برای اعتبار سنجی حل عددی و مقدار 2 برای مطالعه پارامتریک اعمال شده است. دبی جرمی جریان ثانویه از صفر تا 10 درصد جریان اولیه نازل در نظر گرفته شده است. جزئیات مربوط به چگونگی شبیه‌سازی و تنظیمات مقادیر ورودی در جدول 3 آمده است.

جدول 2 جزئیات شبکه‌های مختلف تولید شده (بر حسب mm)

نام شبکه	شبکه A	شبکه B	شبکه C
اندازه سلول‌ها	0/8	0/6	0/3
تعداد سلول‌ها	13000	32000	4000

جدول 3 جزئیات چگونگی شبیه‌سازی انجام شده برای نازل مورد نظر

فضای حل	دو بعدی
مدل آشفستگی	SST k- $\omega$
سیال	هوا
دمای سکون ( $T_0$ )	300 کلوین
فشار پشت ( $P_b$ )	101325 پاسکال
نسبت فشار طراحی	1/89
درصد تزریق جریان ثانویه	0-10%
شدت آشفستگی	10%
عدد ماخ جریان دوردست	0/01
قطر هیدرولیکی	11/59 سانتی‌متر

بردار تراست در ازای چند درصد تزریق دبی جرمی ثانویه، چند درجه می‌تواند در راستای نیروی تراست انحراف ایجاد نماید. مقدار بازدهی برداردهی هنگامی به بیشینه مقدار خود نزدیک می‌شود که به ازای کمترین درصد تزریق، بیشترین انحراف در بردار تراست به وجود آید.

$$\eta = \frac{\delta_p}{W_s/(W_p + W_s)} \times 100 \quad (13)$$

جهت ساده‌سازی معادلات از رابطه (14) استفاده می‌شود. در این رابطه به جای درصد تزریق دبی جرمی ثانویه به دبی جرمی کل جریان ورودی (مجموع دبی جرمی اولیه و ثانویه) از پارامتر  $\phi$  استفاده می‌شود.

$$\phi = W_s/(W_p + W_s) \quad (14)$$

مقدار  $W_{ip}$  و  $F_{ip}$  به ترتیب در معادلات 15 و 16 محاسبه می‌شوند [19,18].

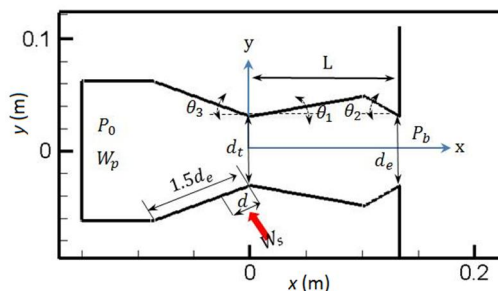
$$F_{ideal} = \dot{m} \sqrt{RT_0 \left( \frac{2\gamma}{\gamma-1} \right) \left[ 1 - \left( \frac{P_{ambient}}{P_0} \right)^{\frac{\gamma-1}{\gamma}} \right]} \quad (15)$$

$$W_{ideal} = \frac{P_0 A_{throat}}{\sqrt{RT_0}} \sqrt{\gamma} \left( \frac{2}{\gamma+1} \right)^{\frac{\gamma+1}{2(\gamma-1)}} \quad (16)$$

که در این معادلات  $\gamma$  بیانگر نرخ گرمای ویژه ( $\gamma=1.4$ ) و  $R$  ثابت جهانی گازها ( $R=287.3$  kJ/kgK) و  $P_0$  و  $T_0$  بیانگر فشار و دمای سکون می‌باشند.

### 3- تولید شبکه و شرایط مرزی

متغیرهای طراحی هندسه نازل دارای دو گلوگاه در شکل 2 نشان داده شده است [10,9]. هندسه نشان داده شده در این شکل، که سابقاً توسط فلام و همکاران [9] مورد آزمایش قرار گرفته بود به عنوان هندسه مینا در شبیه‌سازی‌های تحقیق حاضر و اعتبارسنجی آن در نظر گرفته شده است. سپس تأثیر تغییر در اندازه  $d$ ، بر پارامترهای عملکردی سیستم کنترل بردار تراست و نازل دارای دو گلوگاه بررسی شده است. در جدول 1 جزئیات ابعاد نازل دارای دو گلوگاه شبیه‌سازی شده نشان داده شده است [9-11].



شکل 2 هندسه نازل دارای دو گلوگاه شبیه‌سازی شده

جدول 1 جزئیات هندسه نازل شبیه‌سازی شده

پارامتر	مقدار
$d_e$ (cm)	6/15
$d_t$ (cm)	6/15
$L$ (cm)	13/36
$\theta_1$ (deg)	10
$\theta_2$ (deg)	30
$\theta_3$ (deg)	20
$A_e/A_t$	1

جنبشی آشفتگی و معادلات نرخ ویژه اضمحلال درون کانال بر مبنای روش حل مرتبه اول و با استفاده از نرم‌افزار تجاری Fluent نسخه 6.3.26 تحلیل شده و شرط همگرایی، کاهش خطای ناشی از حل معادلات تا مرتبه صدهزارم و همچنین مقایسه دبی جرمی در مقطع ورودی و خروجی تا دقت یک هزارم در نظر گرفته شده است.

عملکرد سه مدل آشفتگی مختلف با یکدیگر و نتایج تجربی مقایسه شده تا بتوان مدل آشفتگی که رفتار جریان درون نازل دارای دو گلوگاه را به درستی پیش‌بینی می‌کند، برگزید. بدین منظور نتایج بدست آمده از سه مدل آشفتگی مختلف برای پارامترهای عملکردی سیستم کنترل بردار تراست در جدول 4 آمده است. همان‌طور که در این جدول نشان داده شده نتایج بدست آمده با دقت قابل قبولی با یکدیگر یکسان هستند اما نتایج مدل SST k- $\omega$  دقیقاً با نتایج تجربی برابر است. بنابراین با توجه به نتایج دقیق‌تری که مدل SST K- $\omega$  ارائه می‌دهد، از این مدل برای شبیه‌سازی‌های تحقیق حاضر استفاده شده است.

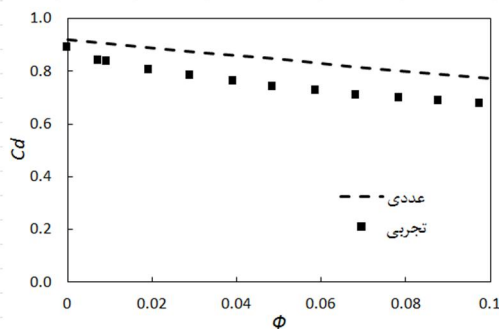
برای اعتبار سنجی حل عددی، جریان گاز مافوق صوت درون نازل شبکه‌بندی شده به صورت دو بعدی، با مدل آشفتگی انتقال تنش‌های برشی SST k- $\omega$ ، به صورت عددی تحلیل شده است. جریان گاز اولیه و ثانویه در این شبیه‌سازی‌ها، هوا در نظر گرفته شده است. دما و فشار محیط نیز، شرایط متعارف در نظر گرفته شده است.

در شکل‌های 5 تا 8 نمودار مقایسه نتایج عددی بدست آمده از تحقیق حاضر با نتایج تجربی گزارش شده توسط فلام و همکاران [9] به ترتیب برای ضریب تخلیه و تراست نازل، بازدهی و زاویه انحراف بردار تراست با نسبت فشار طراحی نازل بر حسب دبی جرمی جریان ثانویه از صفر تا 10 درصد جریان اولیه نازل نشان داده شده است.

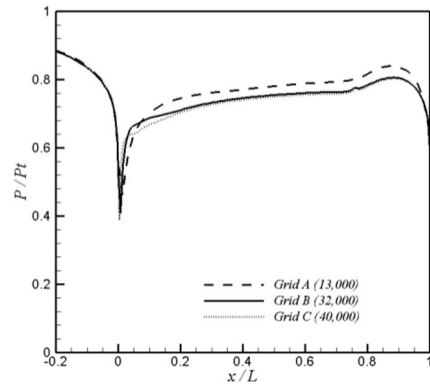
همان‌طور که در این شکل‌ها مشاهده می‌شود، نتایج عددی بدست آمده با اختلاف کمتر از 10% با نتایج تجربی مطابقت دارند. با افزایش درصد دبی جرمی ثانویه، مقدار ضریب تراست، ضریب تخلیه نازل و بازدهی سیستم کنترل بردار تراست کاهش می‌یابد. همچنین اگر با تزریق جریان ثانویه کمتر، زاویه برداردهی بیشتری ایجاد شود، سیستم کنترل بردار تراست از بازدهی بیشتری برخوردار خواهد بود.

جدول 4 مقایسه نتایج سه مدل آشفتگی مختلف

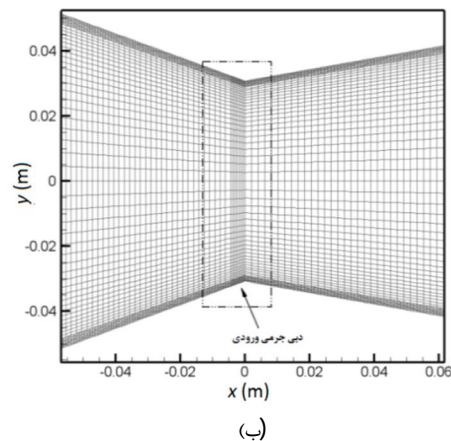
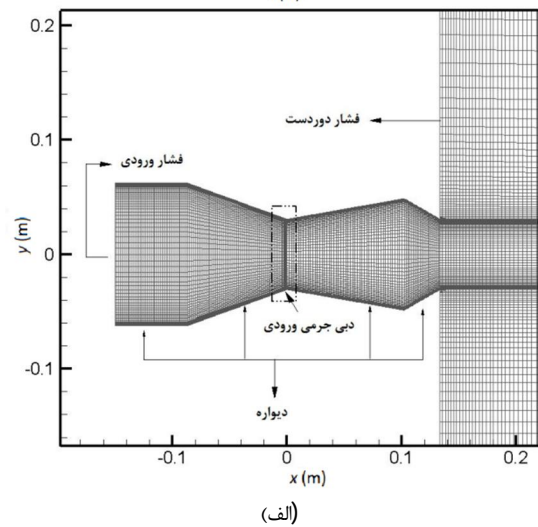
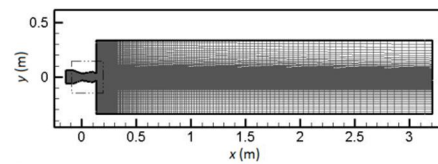
$C_f$	$C_d$	
0/98	0/89	RSM
0/99	0/89	k- $\epsilon$
0/97	0/89	SST k- $\omega$
0/97	0/89	تجربی



شکل 5 مقایسه نتایج عددی و تجربی برای ضریب تخلیه



شکل 3 نمایش استقلال حل عددی از شبکه تولید شده



شکل 4 نمایش شبکه ایجاد شده (الف) کل دامنه حل عددی به همراه شرایط مرزی (ب) جزئیات شبکه‌بندی در نزدیکی گلوگاه نازل

#### 4- اعتبار سنجی حل عددی

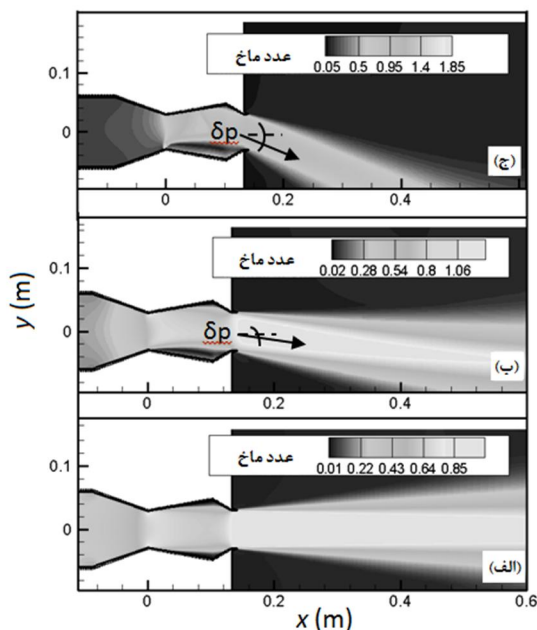
در این بخش عملکرد سیستم کنترل بردار تراست، به کمک نازل‌های دارای دو گلوگاه و تزریق جریان ثانویه، بررسی شده است. معادلات جریان، انرژی

در شکل 9 کانتور عدد ماخ، برای نازل دارای دو گلوگاه با هندسه اصلی مورد نظر، با دبی جرمی جریان ثانویه مختلف (بدون تزریق، 3% و 10%) در نسبت انبساط 2 نشان داده شده است. تأثیر افزایش دبی جرمی ثانویه بر عملکرد سیستم کنترل بردار تراست در این شکل به خوبی نشان داده شده است.

### 5- بحث و بررسی نتایج

در بررسی تأثیر سطح مقطع تزریق جریان ثانویه بر عملکرد نازل‌های دارای دو گلوگاه و سیستم کنترل بردار تراست، چهار نازل با اندازه طول شیار ( $d$ ) تزریق جریان ثانویه مختلف با شرایط اشاره شده در بخش‌های قبلی شبیه‌سازی شده است. در جدول 5 جزئیات ابعاد شیارهای در نظر گرفته شده برای مقطع جریان ثانویه نشان داده شده است.

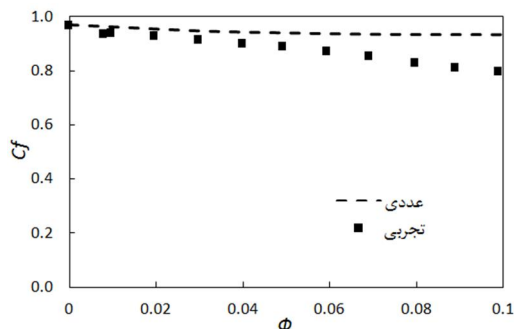
هندسه نازل مورد بررسی، همان هندسه‌ای است که سابقاً توسط محققان [10.9] به عنوان هندسه مینا، به صورت عددی دو بعدی، سه بعدی و تجربی مورد تحلیل و بررسی قرار گرفته است. بدین صورت که در هر دو مرجع [10.9] با تغییر در چند پارامتر هندسی، مطالعه پارامتریک انجام شده است. به همین دلیل در تحقیق حاضر نیز همین هندسه به عنوان هندسه مینا در نظر گرفته شده و با تغییر در طول شیار، تأثیر آن بر عملکرد کنترل بردار تراست مورد ارزیابی قرار گرفته است. بنابراین، پارامتر  $d$  در این شبیه‌سازی‌ها، برابر با قطر مجرای جریان ثانویه هندسه‌ای است که فلام و همکاران [9] به صورت تجربی و دیری و همکاران [10] به صورت عددی مطالعه کرده‌اند. مقدار این پارامتر برابر 0/234 سانتی‌متر در نظر گرفته شده است. همچنین برای مطالعه پارامتریک تأثیر سطح مقطع تزریق جریان ثانویه، نسبت فشار نازل 2 در شبیه‌سازی‌ها اعمال شده است.



شکل 9 نمایش کانتور عدد ماخ با درصد دبی جرمی ثانویه مختلف (الف) بدون تزریق، (ب) 3% و (ج) 10%

جدول 5 جزئیات ابعاد شیار تزریق جریان ثانویه شبیه‌سازی شده

حالت	مقدار (cm)	رابطه
حالت 1	0/117	$D_1 = 0/5d$
حالت 2	0/234	$D_2 = d$
حالت 3	0/351	$D_3 = 1/5d$
حالت 4	0/468	$D_4 = 2d$

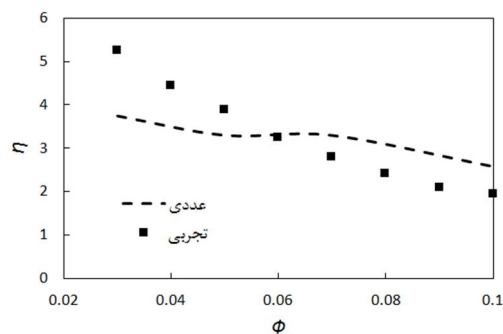


شکل 6 مقایسه نتایج عددی و تجربی برای ضریب تراست

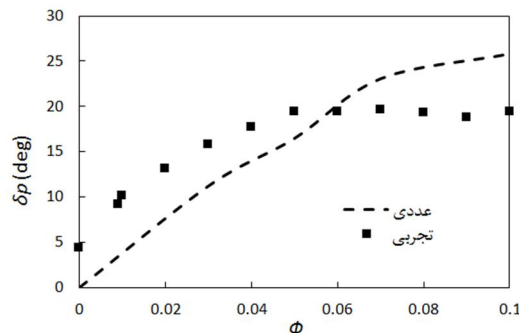
همانطور که در این دو شکل مشاهده می‌شود، نتایج عددی بدست آمده با اختلاف کمتر از 10% با نتایج تجربی مطابقت دارند. با افزایش درصد دبی جرمی ثانویه، مقدار ضریب تراست و ضریب تخلیه نازل کاهش می‌یابد.

تغییر رفتار بازدهی برداردهی در شکل 7 نشان می‌دهد که هر چقدر بتوان با تزریق جریان ثانویه کمتر، زاویه برداردهی بیشتری را تولید نمود، سیستم کنترل بردار تراست از بازدهی بیشتری برخوردار خواهد بود. شکل 8 نشان می‌دهد که نتایج تجربی گزارش شده برای مقدار زاویه انحراف بردار تراست، با رفتار واقعی جریان اختلاف دارد، به طوری که در حالت بدون تزریق جریان ثانویه، مقدار زاویه انحراف بدست آمده در آزمایشگاه حدود 5 درجه است، در حالی که به دلیل تقارن نازل هیچ‌گونه انحرافی نباید در بردار تراست مشاهده شود. این در حالی است که در حالت بدون تزریق نتایج عددی بدست آمده، مقدار زاویه برداردهی را به درستی پیش‌بینی کرده و مقدار صفر را نشان می‌دهد. به همین دلیل تا حدودی احتمال وجود خطا در نتایج تجربی وجود دارد.

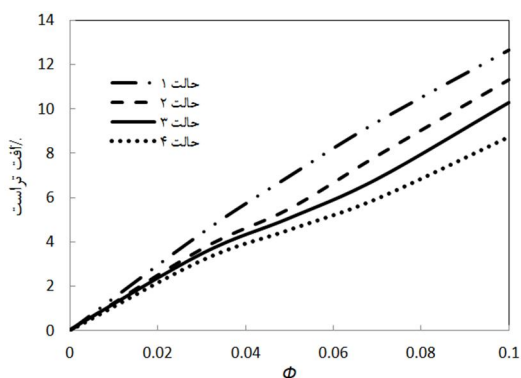
در مجموع وجود اختلاف کمتر از 10% در مقایسه نتایج عددی و تجربی برای پارامترهای عملکردی سیستم کنترل بردار تراست، با در نظر گرفتن وجود خطا در نتایج تجربی، صحت شبیه‌سازی عددی انجام شده را تأیید می‌نماید.



شکل 7 مقایسه نتایج عددی و تجربی برای بازدهی برداردهی



شکل 8 مقایسه نتایج عددی و تجربی برای زاویه برداردهی



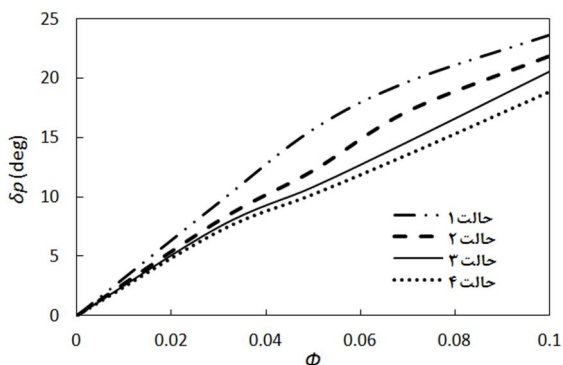
شکل 12 مقایسه درصد افت تراست ایجاد شده نسبت به حالت بدون تزریق

وجود می‌آید و به طور کلی با افزایش طول شیار تزریق، مقدار افت تراست سیستم کاهش می‌یابد. به عنوان نمونه برای تزریق 10% جریان ثانویه، نازل با کوچک‌ترین شیار مقدار 13% و با بزرگ‌ترین شیار مقدار 8% افت تراست در سیستم ایجاد می‌کنند.

در شکل‌های 13 و 14 به ترتیب، نحوه تغییرات زاویه برداردهی (درجه) و بازدهی برداردهی تراست بر حسب تغییرات طول شیار و درصد دبی جرمی نشان داده شده است. در این شکل‌ها به خوبی مشهود است که با کاهش طول شیار تزریق جریان ثانویه، زاویه و بازدهی برداردهی تراست بدست آمده افزایش می‌یابد به طوری که با کاهش طول شیار از حالت 4 به حالت 1 و با تزریق 7% دبی جرمی ثانویه، مقدار زاویه برداردهی نازل از 12 درجه به 20 درجه می‌رسد. همچنین با افزایش درصد دبی ثانویه میزان زاویه برداردهی تراست افزایش و بازدهی برداردهی کاهش می‌یابد.

از جمله معایب استفاده از روش استفاده از نازل دارای دو گلوگاه برای کنترل بردار تراست می‌توان به این مطلب اشاره کرد که جهت افزایش زاویه انحراف در بردار تراست به درصد تزریق جریان ثانویه بیشتری نیاز است درحالی‌که با این عمل (افزایش تزریق دبی جرمی جریان ثانویه) ضریب تخلیه و ضریب تراست نازل کاهش می‌یابد. به طور دقیق‌تر با افزایش درصد تزریق، بازدهی سیستم کنترل بردار تراست کم می‌شود. بدین منظور که در مواقعی که زاویه انحراف بیشتری در بردار تراست نیاز باشد، تراست سیستم با کاهش مواجه می‌شود.

در شکل 15 تأثیر تغییر در طول شیار تزریق جریان ثانویه بر عملکرد سیستم کنترل تراست با 3% تزریق دبی جرمی به صورت کانتور عدد ماخ نشان داده شده است. از شکل 13 نیز بر می‌آید که با افزایش طول شیار، زاویه برداردهی تراست کاهش می‌یابد.



شکل 13 مقایسه زاویه برداردهی (درجه) بدست آمده با شیارهای مختلف

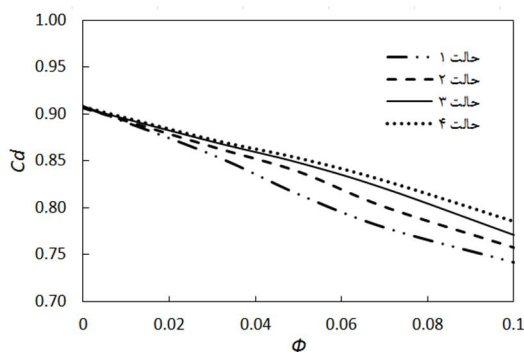
باید توجه داشت که با ثابت در نظر گرفتن دبی جرمی ثانویه، سطح مقطع تزریق جریان با سرعت جریان ثانویه ورودی رابطه معکوس دارد و این بدین معنی است که با کاهش سطح مقطع تزریق جریان، عملاً مومنتوم جریان ثانویه افزایش می‌یابد. بنابراین، در این بخش به طور غیرمستقیم، تأثیر تغییر در مومنتوم جریان ثانویه بر زاویه و بازدهی برداردهی تراست مورد تحلیل و بررسی قرار می‌گیرد.

در شکل 10 ضریب تخلیه بدست آمده از شبیه‌سازی‌ها برای شیارهای مختلف بر حسب نسبت دبی جرمی جریان ثانویه به کل جریان، نشان داده شده است. همانطور که در شکل 10 نشان داده شده است، با افزایش طول شیار تزریق جریان ثانویه، ضریب تخلیه نازل افزایش می‌یابد اما با افزایش درصد تزریق جریان ثانویه ضریب تخلیه کاهش می‌یابد. برای نمونه با افزایش طول شیار از حالت 1 به حالت 4 و با تزریق 7% دبی جرمی ثانویه، مقدار ضریب تخلیه نازل حدود 10% افزایش می‌یابد.

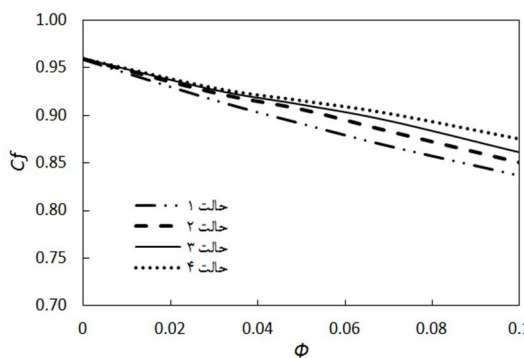
نتایج بدست آمده برای ضریب تراست نازل با اندازه شیارهای مختلف در شکل 11 نشان داده است. با توجه به نحوه تغییرات ضریب تراست بر حسب درصد دبی جرمی و مقایسه آن با شکل 10، این نتیجه حاصل می‌شود که رفتار ضریب تراست مشابه ضریب تخلیه است. شکل 10 و 11 نشان می‌دهند که با افزایش تزریق جریان ثانویه به درون نازل دارای دو گلوگاه ضریب تراست و ضریب تخلیه نازل کاهش می‌یابد، که این مطلب، از جمله معایب سیستم کنترل بردار تراست با استفاده از نازل‌های دارای دو گلوگاه به شمار می‌آید.

درصد افت تراست ایجاد شده در اثر تزریق جریان ثانویه نسبت به حالت بدون تزریق برای شیارهای با ابعاد مختلف بر حسب درصد دبی جرمی ثانویه با یکدیگر مقایسه شده و در شکل 12 نشان داده شده است.

همانطور که در شکل 12 مشاهده می‌شود در حالت 1 (کوچک‌ترین شیار) بیشترین درصد افت تراست نسبت به حالت بدون تزریق جریان ثانویه به



شکل 10 مقایسه ضریب تخلیه بدست آمده با شیارهای مختلف

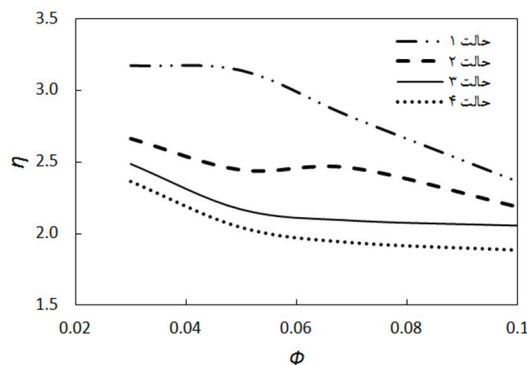


شکل 11 مقایسه ضریب تراست بدست آمده با شیارهای مختلف

### 6- نتیجه‌گیری

در این تحقیق، عملکرد نازل‌های دارای دو گلوگاه و سیستم کنترل بردار تراست به صورت عددی مورد ارزیابی قرار گرفت. هندسه نازل با ابعاد معین و جریان مافوق صوت تراکم‌پذیر با مدل آشفتگی SST K- $\omega$  با نسبت فشار (NPR) معین شبیه‌سازی شد. پس از اعتبار سنجی حل عددی و مقایسه نتایج بدست آمده با نتایج تجربی موجود، تأثیر سطح مقطع تزریق جریان ثانویه بر پارامترهای عملکردی نازل از قبیل ضریب تخلیه ( $C_d$ ) و ضریب تراست ( $C_t$ ) و همچنین پارامترهای عملکردی سیستم کنترل بردار تراست نظیر بازدهی برداردهی ( $\eta$ ) و زاویه برداردهی تراست ( $\delta_p$ ) مورد تحلیل و بررسی قرار گرفت. مهمترین نتایج بدست آمده به شرح زیر است:

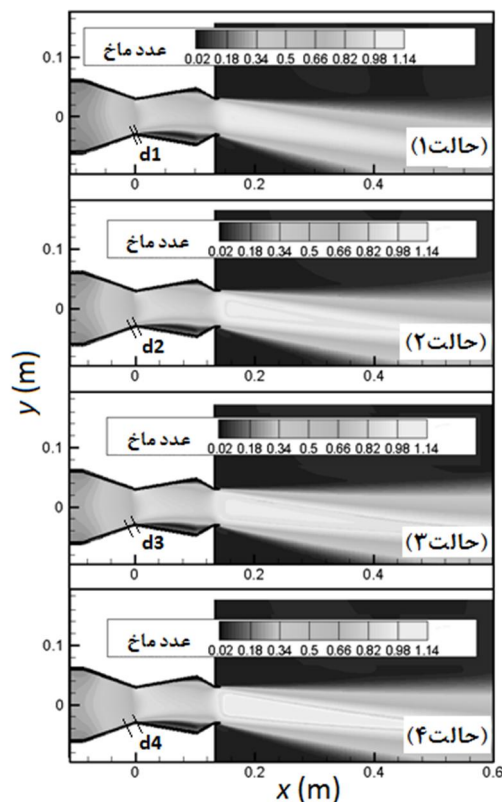
- با افزایش دبی جرمی ثانویه، مقدار ضریب تراست، ضریب تخلیه نازل و بازدهی سیستم کنترل بردار تراست کاهش یافته و میزان زاویه برداردهی افزایش می‌یابد.
- با افزایش طول شیار تزریق جریان ثانویه، ضریب تخلیه و ضریب تراست نازل افزایش می‌یابد. برای نمونه با افزایش طول شیار از حالت 1 به حالت 4 (با چهار برابر نمودن طول شیار) و با تزریق 7% دبی جرمی ثانویه، مقدار ضریب تخلیه نازل حدود 10% افزایش می‌یابد.
- ضریب تخلیه نازل با افزایش دبی جرمی جریان ثانویه کاهش می‌یابد، که این یکی از مشکلات استفاده از نازل‌های دارای دو گلوگاه است که تأثیر نامطلوب در عملکرد موتور ایجاد می‌نماید.
- میزان شیب تغییرات ضریب تراست بیشتر از مقدار ضریب تخلیه است که این مسئله بیانگر این مطلب است که با افزایش تزریق دبی جریان ثانویه به درون نازل دارای دو گلوگاه ضریب تراست نازل بیشتر از ضریب تخلیه کاهش می‌یابد. به عبارت دیگر تأثیرات نامطلوب سیستم کنترل بردار تراست با استفاده از نازل‌های دارای دو گلوگاه بر ضریب تراست کمتر از ضریب تخلیه است.
- بیشترین درصد افت تراست نسبت به حالت بدون تزریق جریان ثانویه، در حالت 1 (کوچکترین شیار) به وجود می‌آید و به طور کلی با افزایش طول شیار تزریق، مقدار افت تراست سیستم کاهش می‌یابد. به عنوان نمونه برای تزریق 10% جریان ثانویه، نازل با کوچکترین شیار مقدار 13% و با بزرگترین شیار مقدار 8% افت تراست در سیستم ایجاد می‌کند.
- با کاهش طول شیار تزریق جریان ثانویه، زاویه برداردهی و بازدهی سیستم کنترل بردار تراست افزایش می‌یابد. به طوری که با کاهش طول شیار از حالت 4 به حالت 1 و با تزریق 7% دبی جرمی ثانویه، مقدار زاویه برداردهی نازل از 12 درجه به 20 درجه می‌رسد.
- افزایش طول شیار تزریق جریان ثانویه، باعث می‌شود که پارامترهای عملکردی نازل (ضریب تراست و ضریب تخلیه) کاهش یابند اما پارامترهای عملکردی سیستم کنترل بردار تراست (بازدهی و زاویه برداردهی) افزایش یابند.



شکل 14 مقایسه بازدهی برداردهی بدست آمده با شیرهای مختلف

به طور کلی نتایج حاصله از بررسی تأثیر تغییر در طول شیار تزریق جریان ثانویه، نشان می‌دهند که افزایش طول شیار، باعث می‌شود که پارامترهای عملکردی نازل (ضریب تراست و ضریب تخلیه) کاهش یابند اما پارامترهای عملکردی سیستم کنترل بردار تراست (بازدهی و زاویه برداردهی) افزایش یابند. بنابراین برای طراحی سیستم کنترل بردار تراست، در مواقعی که به انحراف بیشتر بردار تراست نیاز باشد از شیار با طول کمتر استفاده می‌شود و در مواقعی که نیاز به تراست بیشتر است از شیار با طول بیشتر استفاده می‌شود.

لازم به ذکر است که تا کنون مطالعات انجام شده در این زمینه، فقط بر روی مقیاس آزمایشگاهی سیستم کنترل بردار تراست به کمک نازل‌های دارای دو گلوگاه انجام شده است و هنوز به صورت واقعی عملیاتی نشده است. به همین دلیل محدوده نیرو و سرعت نیز در بازه محدودی قرار دارد تا بتوان به صورت تجربی در آزمایشگاه مورد مطالعه قرار داد.



شکل 15 نمایش کانتور عدد ماخ با اندازه شیرهای تزریق جریان ثانویه مختلف



7- فهرست علائم

$P$	چگالی جریان ( $\text{kg/m}^3$ )	$A_t$	سطح مقطع گلوگاه نازل ( $\text{cm}^2$ )
$\phi$	دبی جرمی ثانویه به کل جریان ورودی	$A_e$	سطح مقطع خروجی نازل ( $\text{cm}^2$ )

8- مراجع

- [1] K. A. Deere, B. L. Berrier, J. D. Flamm, S. K. Johnson, A Computational Study of a New Dual Throat Fluidic Thrust Vectoring Nozzle Concept, *AIAA-2005-3502*, July, 2005.
- [2] K. A. Deere, B. L. Berrier, J. D. Flamm, S. K. Johnson, Computational Study of Fluidic Thrust Vectoring Using Separation Control in a Nozzle, *AIAA-2003-3803*, 2003.
- [3] K. A. Deere, Summary of Fluidic Thrust Vectoring Research Conducted at NASA Langley Research Center. *AIAA-2003-3800*, 2003.
- [4] S. N. Anathesha, Sridhara, D. Vamsidhar, Numerical Investigation and Parametric Study of Fluidic Thrust Vectoring by Shock Vector Control Method, *SAS Tech*, VI, 2007.
- [5] H. J. Kowal, Advances in thrust vectoring and the application of flow control technology, *Canadian Forces College*, Vol.48, pp. 145-151, 2002.
- [6] C. A. Hunter, K. A. Deere, Computational Investigation of Fluidic Counter-flow Thrust Vectoring. *AIAA 99-2669*, 1999.
- [7] J. D. Flamm, Experimental Study of a Nozzle Using Fluidic Counter-flow for Thrust Vectorin. *AIAA 98-3255*, 1998.
- [8] J. D. Flamm, B. L. Berrier, S. K. Johnson, K. A. Deere, An Experimental Study of a Dual Throat Fluidic Thrust Vectoring Nozzle Concept, *AIAA-2005-3503*, July 2005.
- [9] J. D. Flamm, K. A. Deere, M. L. Mason, B. L. Berrier, S. K. Johnson, Experimental Study of an Axisymmetric Dual Throat Fluidic Thrust Vectoring Nozzle for a Supersonic Aircraft Application, *AIAA-2007-5084*, 2007.
- [10] K. A. Deere, J. D. Flamm, B. L. Berrier, S. K. Johnson, Computational Study of an Axisymmetric Dual Throat Fluidic Thrust Vectoring Nozzle Concept for Supersonic Aircraft Application, *AIAA-2007-5085*, 2007.
- [11] J. D. Flamm, K. A. Deere, M. L. Mason, B. L. Berrier, S. K. Johnson, Design Enhancements of the Two-Dimensional, Dual Throat Fluidic Thrust Vectoring Nozzle Concept. *AIAA-2006-3701*, 2006.
- [12] C. S. Shin, H. D. Kim, T. Setoguchi, S. Matsuo, A Computational Study of Thrust Vectoring Control Using Dual Throat Nozzle, *Journal of Thermal Science*, Vol, 19, pp.486-490, 2010.
- [13] M. Heydari, A. Pooramir, Simulation of Thrust Vector Control with Using Single Fluid Injector, *Journal of High Energy Material*, Vol. 1, pp.33-43, 2011 (in Persian).
- [14] R. Gu, J. Xu, Effects of Cavity on the Performance of Dual Throat Nozzle During the Thrust-Vectoring Starting Transient Process. *Journal of Engineering Gas Turbines and Power*, Vol.136, 2013.
- [15] Fluent, "User's Guide Fluent 6.3.26, *Fluent Incorporated*", Lebanon, NH, 2006.
- [16] M.H. Shojaeefard, A. Noorpur, *Computational Fluid Dynamic*, Industrial and Science University, 2000. (In Persian).
- [17] F. R. Menter, Two-Equation Eddy-Viscosity Turbulence Models for Engineering Applications, *AIAA journal*, Vol.32, pp. 1598-1605, 1994.
- [18] M. L. Mason, L. E. Putnam, J. R. Richard, The Effect of Throat Contouring on Two Dimensional Converging-Diverging Nozzles at Static Condition, *NASA Technical Paper 1704*, 1980.
- [19] A. M. Geatz, *A Prediction Code for the Thrust Performance of Two Dimensional, Non-Axisymmetric, Converging Diverging Nozzles*, Air Force Institute of Technology, PH.D Thesis, 2005.

$C_d$	ضریب تخلیه نازل	$F_A$	نیروی محوری (N)
$C_f$	ضریب تراست نازل	$F_{ip}$	تراست آیزنتروپیک جریان اولیه (N)
CFD	دینامیک سیالات محاسباتی	$F_{is}$	تراست آیزنتروپیک جریان ثانویه (N)
$d$	طول شیار تزریق جریان ثانویه (cm)	$F_N$	نیروی عمودی (N)
DTN	نازل‌های دارای دو گلوگاه	$F_r$	نیروی برآیند (N)
$F_A$	نیروی محوری (N)	$I$	طول حفره نازل اولیه (cm)
$F_{ip}$	تراست آیزنتروپیک جریان اولیه (N)	M	عدد ماخ
$F_{is}$	تراست آیزنتروپیک جریان ثانویه (N)	NPR	نسبت فشار نازل
$F_N$	نیروی عمودی (N)	$P_a$	فشار محیط (Pa)
$F_r$	نیروی برآیند (N)	$P_b$	فشار پشت نازل (Pa)
$I$	طول حفره نازل اولیه (cm)	$P_t (P_0)$	فشار سکون (Pa)
M	عدد ماخ	$T_0$	دمای سکون (K)
NPR	نسبت فشار نازل	$W_{ip}$	دبی جرمی ایده‌آل جریان اولیه
$P_a$	فشار محیط (Pa)	$W_p$	دبی جرمی جریان اولیه
$P_b$	فشار پشت نازل (Pa)	$W_s$	دبی جرمی جریان ثانویه
$P_t (P_0)$	فشار سکون (Pa)	$k$	انرژی جنبشی جریان آشفته ( $\text{m}^2/\text{s}^2$ )
$T_0$	دمای سکون (K)	$u$	سرعت گاز (m/s)
$W_{ip}$	دبی جرمی ایده‌آل جریان اولیه	$u'$	سرعت نوسانی (m/s)
$W_p$	دبی جرمی جریان اولیه		
$W_s$	دبی جرمی جریان ثانویه		

علائم یونانی

$\delta_p$	زاویه برداردهی حول محور افقی (درجه)
$\eta$	بازدهی سیستم کنترل بردار تراست
$\theta_1$	زاویه واگرایی حفره نازل (درجه)
$\theta_2$	زاویه همگرایی حفره نازل (درجه)
$\theta_3$	زاویه همگرایی نازل (درجه)
$\mu_t$	ویسکوزیته دینامیکی آشفته ( $\text{kg/ms}$ )